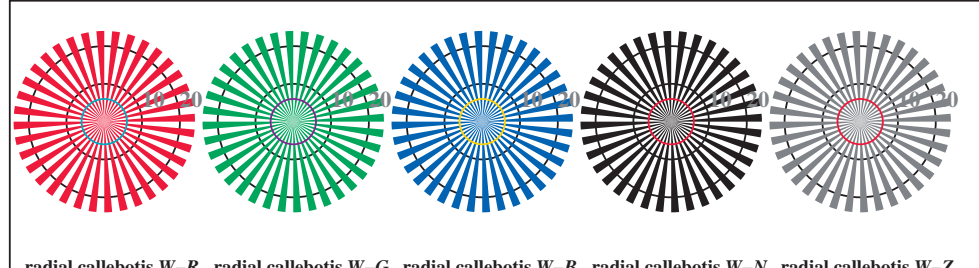
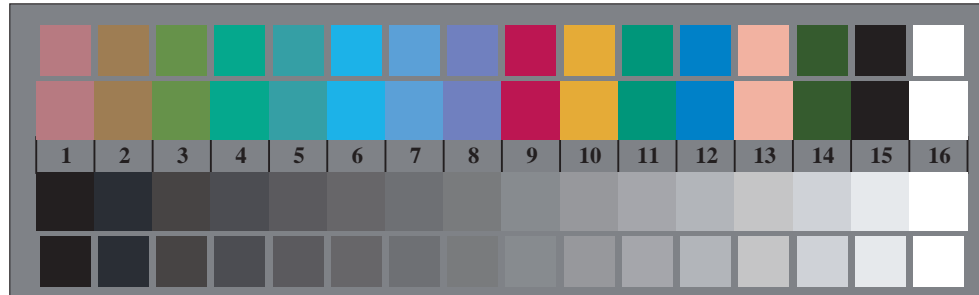




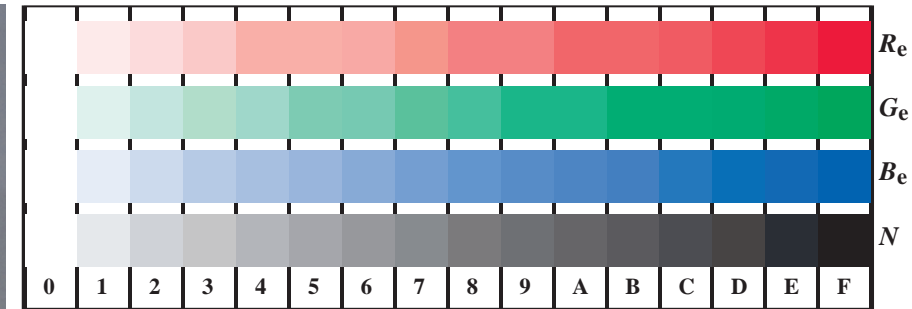
TF830-3, Fig. D1Wde: le motif fleuri, 14 CIE test couleurs et 2 + 16 gris étapes (sf); ; PS 4 colorimage



radial callebotis  $W-R_e$  radial callebotis  $W-G_e$  radial callebotis  $W-B_e$  radial callebotis  $W-N$  radial callebotis  $W-Z$   
TF830-5, Fig. D2Wde: radial callebotis  $W-R_e$ ;  $W-G_e$ ;  $W-B_e$ ;  $W-N$ ; PS operator  $rgb \rightarrow rgb_{de}$  setrgbcolor



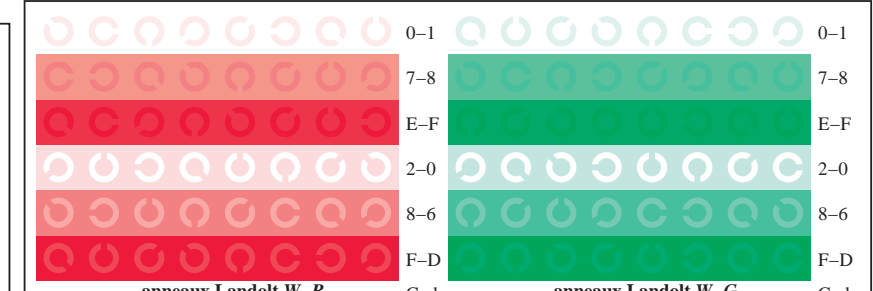
TF830-7, Fig. D3Wde: 14 CIE test couleurs et 2 + 16 gris étapes (sf);  $rgb/cmy0 \rightarrow rgb_{de}$  setrgbcolor



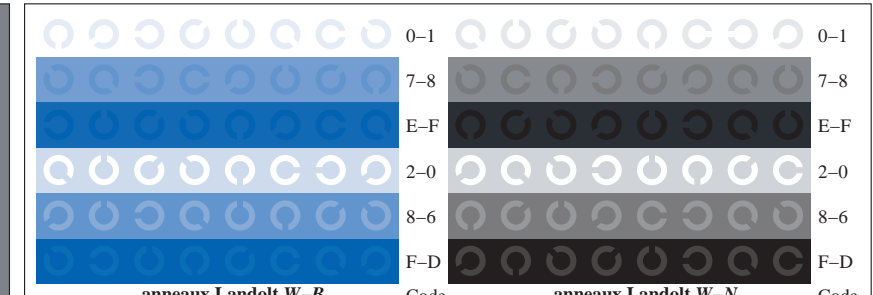
TF831-1, Fig. D4Wde: 16 équidistants étapes  $W-R_e$ ;  $W-G_e$ ;  $W-B_e$ ;  $W-N$ ;  $rgb/cmy0 \rightarrow rgb_{de}$  setrgbcolor

+-.:	Q	O	C	C	C	lmno	C	O	C	O	pqrs	O	O	O	O	tuvw	O	O	O			
xyz;	O	O	O	C	C	hijk	O	C	O	C	lmno	O	O	O	O	pqrz	O	O	O			
tuvw	O	O	O	C	C	defg	O	O	O	C	hijk	O	O	O	O	hijk	O	O	O			
pqrs	O	O	O	C	C	!abc	O	O	O	C	+-.:	O	O	O	O	+-.:	O	O	O			
lmno	O	O	O	C	C	xyz;	O	O	O	C	xyz;	O	O	O	O	xyz;	O	O	O			
hijk	C	C	O	O	C	tuvw	O	O	O	C	defg	O	O	O	O	defg	O	O	O			
defg	O	O	O	C	C	pqrs	O	O	O	C	!abc	O	O	C	Z	!abc	O	O	O			
!abc	O	O	O	C	C	10	N	R <sub>e</sub>	G <sub>e</sub>	B <sub>e</sub>	Z	6	N	R <sub>e</sub>	G <sub>e</sub>	B <sub>e</sub>	Z	N	R <sub>e</sub>	G <sub>e</sub>	B <sub>e</sub>	Z
10	N	R <sub>e</sub>	G <sub>e</sub>	B <sub>e</sub>	Z	8	N	R <sub>e</sub>	G <sub>e</sub>	B <sub>e</sub>	Z											

TF831-3, Fig. D5Wde: code et Landolt anneau  $N$ ;  $R_e$ ;  $G_e$ ;  $B_e$ ;  $Z$ ; PS operator  $rgb \rightarrow rgb_{de}$  setrgbcolor



TF831-5, Fig. D6Wde: anneaux Landolt  $W-R_e$ ;  $W-G_e$ ; PS operator  $rgb \rightarrow rgb_{de}$  setrgbcolor



TF831-7, Fig. D7Wde: anneaux Landolt  $W-B_e$ ;  $W-N$ ; PS operator  $rgb \rightarrow rgb_{de}$  setrgbcolor